



ESCOLA POLITÉCNICA DA UNIVERSIDADE DE SÃO PAULO

PQI 3301– FENÔMENOS DE TRANSPORTE II

APOSTILA ⑥ – Transferência de Calor por Convecção:

Introdução

Prof. José Luís de Paiva

Prof. Jorge A. W. Gut

Versão 2023

Conteúdo

1. EQUACIONAMENTO	2
1.1 Lei de Resfriamento de Newton.....	2
1.2 Balanços microscópicos.....	3
1.3 Adimensionais relacionados à convecção	6
1.4 Camada limite térmica	8
1.5 Analogias	10
2. EXERCÍCIOS.....	12
3. SÍMBOLOS.....	13
4. BIBLIOGRAFIA.....	14

Produção 2013: Caio Luca Joppert, bolsista do Programa de Estímulo ao Ensino de Graduação (PEEG) da Pró-Reitoria de Graduação da USP.

Revisão 2015: Yuri Nascimento Nariyoshi, bolsista do Programa de Aperfeiçoamento de Ensino (PAE) da CAPES.

1. EQUACIONAMENTO

1.1 Lei de Resfriamento de Newton

Como já explicitado anteriormente, a transferência de calor entre a superfície do sólido e o meio fluido pode ser tratada de forma simplificada através da Lei de Resfriamento de Newton, que considera como proporcionais o fluxo de calor na superfície do sólido e a diferença entre a temperatura da superfície e a temperatura do fluido em um ponto afastado do sólido (**Figura 1**):

$$q''_{conv} = h \cdot \Delta T$$

$$q_{conv} = h \cdot A_S \cdot \Delta T$$

em que $\Delta T = (T_S - T_\infty)$ para um sólido quente ou $\Delta T = (T_\infty - T_S)$ para um sólido frio, sendo T_S a temperatura média da superfície e T_∞ a temperatura média do fluido afastado do sólido.

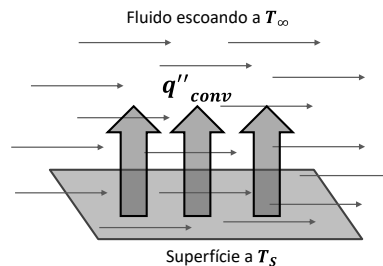


Figura 1: Esquema da Lei de resfriamento de Newton.

O coeficiente de convecção h [$W/(K \text{ m}^2)$] muitas vezes determinado experimentalmente e depende de diversos fatores como: natureza do fluido, velocidade de escoamento e geometria da superfície. A Lei de Resfriamento de Newton é prática para quando o valor do coeficiente de película – de convecção – é conhecido, mas se este parâmetro deve ser determinado, é necessário recorrer a correlações semi-empíricas apropriadas. Antes de abordar tais correlações, é necessário deixar clara algumas faixas de valores destes coeficientes.

O estado físico do fluido influencia grandemente no valor do coeficiente de troca por convecção: gases geralmente resultam em coeficiente de películas baixos, enquanto que líquidos apresentam coeficientes de convecção mais elevados. O valor do coeficiente ainda depende da natureza do escoamento, que pode ser natural (devido a diferenças de densidades), forçada (por meio de equipamentos, como bomba e compressores ou por ventiladores) ou com mudança de fase (condensação e ebulição). A **Tabela 1** mostra faixas típicas de coeficiente de convecção. A **Tabela 2** mostra valores típicos para água transferindo calor no estado vapor, na condensação ou ebulição e transferindo calor no estado líquido.

Tabela 1: Faixas típicas de coeficiente de convecção para várias situações. (Fonte: Incropera, 6ª edição)

Processo	Estado físico	Faixa típica de h [$W/(m^2 \text{ K})$]
Convecção natural	Gasoso	2 a 25
	Líquido	50 a 1000
Convecção forçada	Gasoso	25 a 250
	Líquido	100 a 20000
Convecção com mudança de fase	Em ebulição ou condensação	2500 a 100000

Tabela 2: Valores típicos médios de convecção (ou de película) para água e vapor d'água. (Adaptado de Douglas, 1988)

Processo	Fluido	Valor típico médio de h (W/m ² .K)
Convecção forçada, sem mudança de fase	Água líquida	2000
	Vapor d'água	100
Convecção com mudança de fase (condensação de vapor)	-	5000

1.2 Balanços microscópicos

Todo problema de transferência de calor por convecção envolve a resolução das equações de balanço microscópico de massa, de quantidade de movimento e de energia térmica, simultaneamente:

- Balanço microscópico de massa (equação de continuidade):

$$\frac{\partial \rho}{\partial t} + \text{div } \rho \vec{v} = 0$$

- Balanço microscópico de quantidade de movimento (equação de Navier-Stokes) para fluidos Newtonianos e incompressíveis:

$$\frac{\partial \vec{v}}{\partial t} + \vec{v} \cdot \text{grad} \vec{v} - \nu \text{lap } \vec{v} - \vec{g} + \frac{\overline{\text{grad} P}}{\rho} = 0$$

- Balanço microscópico de energia térmica

$$\frac{\partial T}{\partial t} + \vec{v} \cdot \text{grad } T - \alpha \text{lap } T - \frac{\dot{q}_V}{\rho c_P} = 0$$

Lembrando que:

- $\alpha = k/\rho c_P$ e $\nu = \mu/\rho$ são as difusividades térmica e de quantidade de movimento (viscosidade cinemática), respectivamente.

Exemplo de aplicação: Escoamento Couette (escoamento de uma fina camada de óleo lubrificante que está entre um eixo que gira e um mancal ou um rolamento). As interfaces do óleo são mantidas a temperaturas constantes T_0 e T_L ; A espessura da camada de óleo é L , que é muito menor do que o diâmetro do eixo ($D = 2R$), pode-se aproximar a situação àquela do escoamento desenvolvido de um fluido incompressível entre uma placa plana e uma placa móvel (**Figura 2**). Devido ao atrito no óleo tem-se a dissipação viscosa. O volume de controle é a camada de óleo entre o eixo e o rolamento.

Pelos balanços microscópicos:

$$\frac{\partial \vec{v}}{\partial t} + \vec{v} \cdot \nabla \vec{v} - \nu \nabla^2 \vec{v} - \vec{g} + \frac{\overline{\text{grad} P}}{\rho} = 0$$

0 (regime permanente) 0 (balanço em x e y) 0 (simetria em x)

$$\frac{\partial T}{\partial t} + \vec{v} \cdot \nabla T - \alpha \nabla^2 T - \frac{\dot{q}_V}{\rho c_P} = 0$$

0 (regime permanente)

$$\frac{\partial \rho}{\partial t} + \nabla \cdot \rho \vec{v} = 0$$

0 (regime permanente)

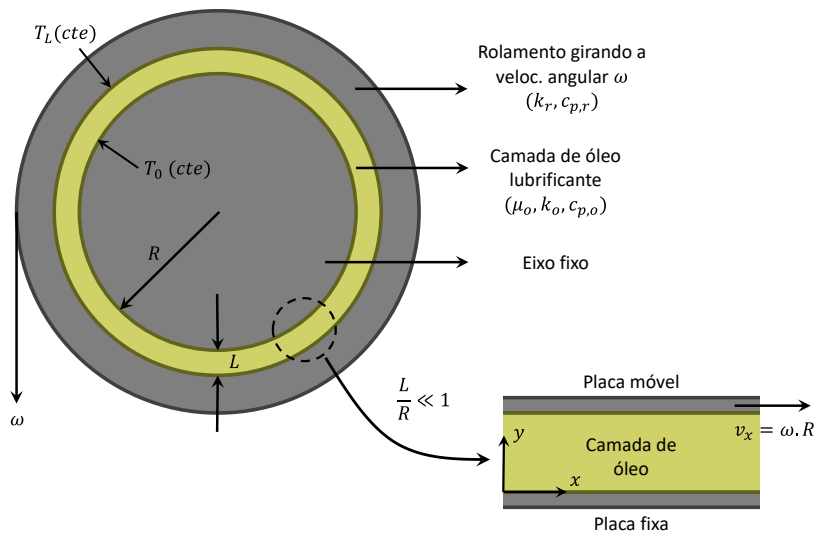


Figura 2: Escoamento de Couette de uma camada de óleo sobre um mancal fixo.

De modo que se tem o seguinte conjunto de equações diferenciais a serem resolvidas:

$$\frac{\partial v_x}{\partial x} + \frac{\partial v_y}{\partial y} = 0$$

$$v_x \cdot \frac{\partial v_x}{\partial x} + v_y \cdot \frac{\partial v_x}{\partial y} = \nu \cdot \left(\frac{\partial^2 v_x}{\partial x^2} + \frac{\partial^2 v_x}{\partial y^2} \right)$$

$$v_x \cdot \frac{\partial T}{\partial x} + v_y \cdot \frac{\partial T}{\partial y} = \alpha \cdot \left(\frac{\partial^2 T}{\partial x^2} + \frac{\partial^2 T}{\partial y^2} \right) + \frac{\dot{q}_V}{\rho c_p}$$

No caso do escoamento desenvolvido o fluido não se move na direção y , ($v_y = 0$) de modo que $\partial v_y / \partial y = 0$. Ainda, há simetria no eixo x quanto ao perfil de temperaturas (o gradiente de temperatura será na direção y), de modo que $\partial T / \partial x = 0$. Assim, as equações se simplificam a:

$$\frac{\partial v_x}{\partial x} = 0$$

$$\frac{\partial^2 v_x}{\partial y^2} = 0$$

$$\frac{\partial^2 T}{\partial y^2} + \frac{\dot{q}_V}{k} = 0$$

$$\therefore v_x(y) = C_1 \cdot y + C_2$$

$$\therefore T(y) = -\frac{\dot{q}_V}{2k} \cdot y^2 + C_3 \cdot y + C_4$$

Agora, é necessário estabelecer as condições de contorno de cada equação:

- Para o balanço de quantidade de movimento, as condições de contorno são: em $y = 0$ (placa fixa), $v_x = 0$; em $y = L$ (placa móvel), $v_x = \omega \cdot R$

- Para o balanço de energia térmica, as condições de contorno são: em $y = 0$ (placa fixa), $T = T_0$; em $y = L$ (placa móvel), $T = T_L$

$$v_x(0) = 0 = C_2$$

$$v_x(L) = \omega \cdot R = C_1 \cdot L \Rightarrow C_1 = \frac{\omega \cdot R}{L}$$

$$T(0) = T_0 = C_4$$

$$T(L) = T_L = -\frac{\dot{q}_V}{2k} \cdot L^2 + C_3 \cdot L + T_0 \Rightarrow C_3 = \frac{(T_L - T_0)}{L} + \frac{\dot{q}_V}{k} \cdot L$$

$$\therefore v_x(y) = \frac{\omega R}{L} \cdot y$$

$$\therefore T(y) = T_0 + \frac{\dot{q}_V}{2k} (y \cdot L - y^2) + \frac{(T_L - T_0)}{L} \cdot y$$

Ainda, a dissipação viscosa pode ser calculada no caso laminar e para fluido newtoniano. Sendo no caso expressa por:

$$\dot{q}_V = \mu \left(\frac{\partial v_x}{\partial y} \right)^2 = \mu \left(\frac{\omega R}{L} \right)^2$$

Substituindo-se no perfil de temperatura, tem-se:

$$T(y) = T_0 + \frac{\mu \cdot (\omega R)^2}{2k} \cdot \left(\frac{y}{L} - \left(\frac{y}{L} \right)^2 \right) + \frac{(T_L - T_0)}{L} \cdot y$$

$$\therefore \frac{T(y) - T_0}{T_L - T_0} = \frac{\mu \cdot (\omega R)^2}{2k \cdot (T_L - T_0)} \cdot \left(\frac{y}{L} - \left(\frac{y}{L} \right)^2 \right) + \frac{y}{L}$$

A equação do perfil de temperatura pode ser adimensionalizada. O parâmetro adimensional $\mu \cdot (\omega R)^2 / 2k \cdot (T_L - T_0)$ é conhecido como número de Brinkmann (Bk). Se θ^* for a diferença de temperatura adimensional e y^* a posição adimensional no VC, o perfil de temperatura se resume a:

$$\theta^*(y^*) = -Bk \cdot y^{*2} + (1 - Bk) \cdot y^*$$

Na **Figura 3** estão mostrados esquematicamente os perfis de temperatura e de velocidades no VC, em função do número de Brinkmann.

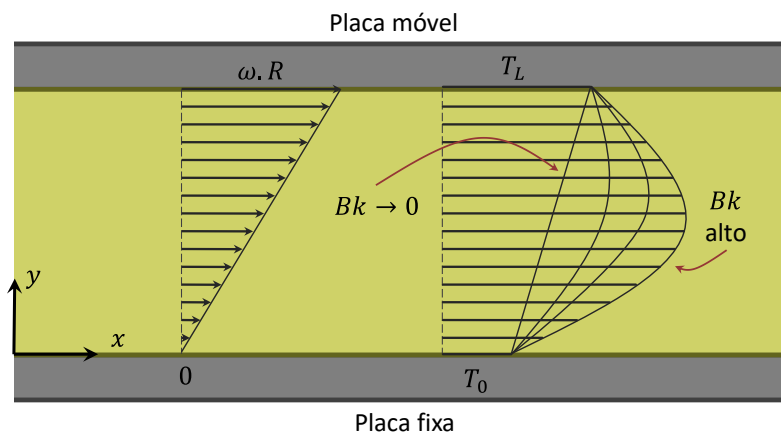


Figura 3: Perfis de velocidade e temperatura no escoamento de Couette.

Alguns pontos interessantes a serem mencionados:

- O fato de o escoamento ser perpendicular ao perfil de temperaturas (o fluido escoar na direção x, enquanto o calor difunde na direção y) faz com que o termo convectivo no balanço microscópico de energia térmica seja nulo.
- Assim como se define uma velocidade média de escoamento (v_b), também se define uma temperatura média do fluido (T_b), que leva em consideração a velocidade de escoamento e a temperatura em cada ponto do perfil (o subscrito “b” indica “bulk”):

$$v_b = \frac{1}{\dot{m}} \int \rho \vec{v} \cdot d\vec{A}$$

$$T_b = \frac{1}{\dot{m} C_p} \int C_p \cdot \rho \cdot T \cdot \vec{v} \cdot d\vec{A}$$

Adimensionais relacionados à convecção

Para encontrar os números adimensionais relacionados à troca de calor por convecção, é necessário realizar o balanço microscópico de energia térmica fazendo as seguintes adimensionalizações:

Velocidade adimensional	Tempo adimensional	Posição adimensional	Diferença de temperaturas adimensional
$\vec{v}^* = \frac{\vec{v}}{v_0}$	$t^* = \frac{t}{t_0}$	$\vec{r}^* = \frac{\vec{r}}{L}$	$\theta^* = \frac{T - T_\infty}{T_0 - T_\infty}$
v_0 = maior velocidade das fronteiras do VC	t_0 = tempo característico	L = Tamanho característico do VC	T_0, T_∞ = Temperatura nas fronteiras do VC

Então, adimensionalizando-se os termos dos balanços microscópicos, tem-se:

$$\begin{aligned} \text{div}(\vec{v}) &= \text{div}(v_0 \cdot \vec{v}^*) = \left(\frac{\partial(v_0 \cdot \vec{v}^*)}{\partial(L \cdot x^*)} + \frac{\partial(v_0 \cdot \vec{v}^*)}{\partial(L \cdot y^*)} + \frac{\partial(v_0 \cdot \vec{v}^*)}{\partial(L \cdot z^*)} \right) = \frac{v_0}{L} \cdot \left(\frac{\partial \vec{v}^*}{\partial x^*} + \frac{\partial \vec{v}^*}{\partial y^*} + \frac{\partial \vec{v}^*}{\partial z^*} \right) \\ \therefore \text{div}(\vec{v}) &= \frac{v_0}{L} \cdot \text{div}^*(\vec{v}^*) \\ \text{grad}(T) &= \text{grad}(\theta^* \cdot (T_0 - T_\infty) + T_\infty) = \\ &= \left(\frac{\partial(\theta^* \cdot (T_0 - T_\infty) + T_\infty)}{\partial(L \cdot x^*)} + \frac{\partial(\theta^* \cdot (T_0 - T_\infty) + T_\infty)}{\partial(L \cdot y^*)} + \frac{\partial(\theta^* \cdot (T_0 - T_\infty) + T_\infty)}{\partial(L \cdot z^*)} \right) = \\ &= \frac{(T_0 - T_\infty)}{L} \cdot \left(\frac{\partial \theta^*}{\partial x^*} + \frac{\partial \theta^*}{\partial y^*} + \frac{\partial \theta^*}{\partial z^*} \right) \\ \therefore \text{grad}(T) &= \frac{(T_0 - T_\infty)}{L} \cdot \text{grad}^*(\theta^*) \end{aligned}$$

Rescrevendo-se o balanço microscópico de energia térmica em regime estacionário, tem-se:

$$\vec{v} \cdot \text{grad}(T) - \alpha \cdot \text{div}(\text{grad}(T)) = \frac{\dot{q}_V}{\rho c_p}$$

$$\frac{v_0 \cdot (T_0 - T_\infty)}{L} \cdot \vec{v}^* \cdot \text{grad}^*(\theta^*) - \frac{\alpha \cdot (T_0 - T_\infty)}{L^2} \cdot \text{div}^*(\text{grad}^*(\theta^*)) = \frac{\dot{q}_V}{\rho c_p}$$

Multiplicando ambos os lados por $L/v_0 \cdot (T_0 - T_\infty)$, vem:

$$\vec{v}^* \cdot \text{grad}^*(\theta^*) - \frac{\alpha}{v_0 \cdot L} \cdot \text{div}^*(\text{grad}^*(\theta^*)) = \frac{\dot{q}_V \cdot L}{\rho c_p v_0 \cdot (T_0 - T_\infty)}$$

O termo $\alpha/v_0 \cdot L$ é adimensional. Manipulando matematicamente este parâmetro, pode-se desmembrá-lo em dois outros números adimensionais:

$$\frac{\alpha}{v_0 \cdot L} = \frac{\alpha}{\nu} \cdot \frac{\nu}{v_0 \cdot L} = \frac{\alpha}{\nu} \cdot \frac{\mu}{\rho \cdot v_0 \cdot L}$$

Por definição:

- $\rho \cdot v_0 \cdot L/\mu$ é o número de Reynolds (Re);
- α/ν é o número de Prandtl (Pr);
- $Re \cdot Pr = Pe$ é o número de Péclet

Na interface líquido-sólido, tem-se:

$$\begin{aligned} q'' &= -k \cdot \text{grad}(T) = h \cdot (T_0 - T_\infty) \\ -k \cdot \frac{(T_0 - T_\infty)}{L} \cdot \text{grad}^*(\theta^*) &= h \cdot (T_0 - T_\infty) \\ \therefore -\text{grad}^*(\theta^*) &= \frac{h \cdot L}{k} \end{aligned}$$

Por definição, $h \cdot L/k$ é o número de Nusselt (Nu). Cabe observar que este balanço é feito no VC, no fluido. Caso o mesmo balanço fosse feito no sólido, o resultado seria o mesmo, mas o número adimensional seria o número de Biot (Bi). Ainda, o valor de h neste caso é aquele encontrado na interface sólido/fluido. A **Tabela 3** resume os números adimensionais utilizados na transferência de calor por convecção:

Tabela 3: Números adimensionais relacionados à convecção.

Nome	Significado	Símbolo	Cálculo
Número de Reynolds	Relação entre as forças de inércia e as forças viscosas	Re	$\frac{v_0 \cdot L}{\nu} = \frac{\rho \cdot v_0 \cdot L}{\mu}$
Número de Prandtl	Relação entre as difusividades de calor e de quantidade de movimento	Pr	$\frac{\nu}{\alpha} = \frac{\mu \cdot c_p}{k}$
Número de Nusselt	Relação entre resistências por condução e convecção na interface fluido/sólido	Nu	$\frac{h \cdot L}{k}$

Enquanto os números de Reynolds e de Nusselt dependem de fatores como escoamento e geometria, o número de Prandtl relaciona apenas parâmetros do fluido, dependendo essencialmente da temperatura. O comportamento segue aproximadamente as seguintes regras:

- Gases ideais monoatômicos tem-se: $Pr = c_p / (2,5 \cdot (c_p + R))$. Como, para gases ideais monoatômicos, $c_p = 3R/2$, $Pr = 2/3$;

- Gases que desviam deste comportamento ideal têm valores de número de Prandtl ligeiramente maiores que 2/3, sendo mais distante deste valor quanto mais distante o comportamento;
- O Pr geralmente é maior em temperaturas muito baixas ou muito elevadas e apresenta um valor médio, mais ou menos constante, numa dada faixa de temperaturas;
- O Pr é consideravelmente maior para líquidos do que para gases, e a dependência da temperatura também é mais expressiva em líquidos do que em gases.

A **Tabela 4** apresenta valores típicos de número de Prandtl para dadas faixas de temperatura de gases. A **Figura 4** apresenta valores do número de Prandtl para alguns gases em função da temperatura.

Tabela 4: Valores médios de Pr para diversos gases a 1 atm.

Fluido	Faixa de validade (K)	Valor médio de Pr
Gás monoatômico ideal	-	$2/3 = 0,67$
Hélio	100 - 1000	0,675
Nitrogênio	300 - 800	0,70
Oxigênio	350 - 1300	0,73
Ar	250 - 1800	0,70
Vapor d'água	380 - 850	1,0
Dióxido de carbono	360 - 800	0,72

(Fonte: Incropera, 6ª edição; Prausnitz, 4ª edição)

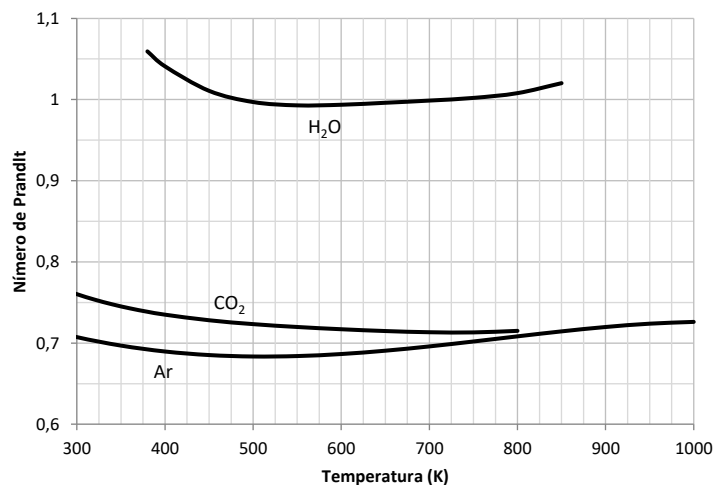


Figura 4: Número de Prandtl para o ar, gás carbônico e vapor d'água a 1 atm.

1.3 Camada limite térmica

Da mesma forma que o escoamento sobre uma placa plana causa a formação de uma camada limite de velocidades, também existe a formação de uma camada limite de temperaturas.

A critério de recordação de alguns conceitos, a **Figura 5** apresenta esquematicamente uma camada limite de velocidades para escoamento sobre uma placa plana. Dentre as hipóteses consideradas nesta análise, destacam-se: escoamento incompressível, bidimensional, propriedades constantes, regime permanente e dissipação viscosa desprezível. Alguns pontos a serem lembrados:

- A espessura da camada limite laminar é definida pela fronteira na qual $v_x/v_\infty = 0,99$;

- O número de Reynolds *local* é definido como o número de Reynolds utilizando a posição x como variável de comprimento: $Re_x = \rho \cdot v_\infty \cdot x / \mu$;
- A espessura da camada limite *em regime laminar* é dada por $\delta_L = 5x / Re_x^{0,5}$;
- O fator de atrito na camada laminar é dado por $f_L = \tau / (0,5 \cdot \rho \cdot v_{x,\infty}^2)$, sendo que a tensão de cisalhamento τ é dada localmente pela Lei de Newton. Tomando a média integral ao longo da placa, o valor médio do fator de atrito é dado por $\bar{f}_L = 0,664 \cdot Re_L^{-0,5}$;
- Além da camada limite em regime laminar, existe a camada limite em regime turbulento. A transição entre as camadas ocorre num valor típico de número de Reynolds ($Re_{cr} = 5 \cdot 10^5$). O fator de atrito médio, nas condições de regime turbulento, é dado por $\bar{f}_T = 0,0592 \cdot Re_L^{-0,2}$.

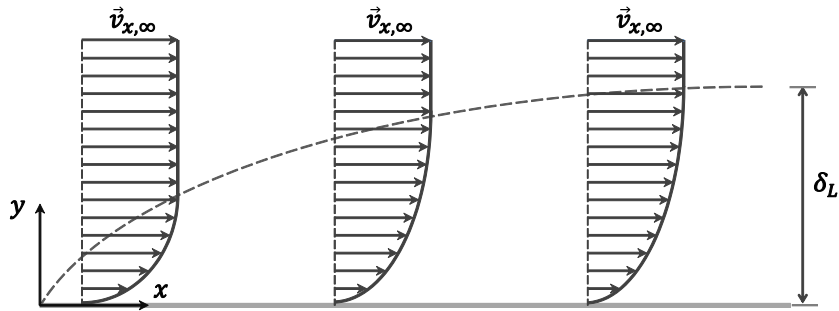


Figura 5: Esquema do escoamento com formação de camada limite laminar.

Considerando-se os três balanços microscópicos em regime permanente, lembrando que a variação na direção y da velocidade e da temperatura é muito maior do que na direção x , tem-se:

$$\frac{\partial v_x}{\partial x} + \frac{\partial v_y}{\partial y} = 0$$

$$v_x \cdot \frac{\partial v_x}{\partial x} + v_y \cdot \frac{\partial v_x}{\partial y} = \nu \cdot \frac{\partial^2 v_x}{\partial y^2}$$

$$v_x \cdot \frac{\partial T}{\partial x} + v_y \cdot \frac{\partial T}{\partial y} = \alpha \cdot \frac{\partial^2 T}{\partial y^2}$$

É interessante notar a similaridade entre os balanços de quantidade de movimento e de energia térmica. Esta semelhança significa que muitos resultados e modelos encontrados para a camada limite de velocidades podem ser estendidos para a camada limite de temperaturas. A **Figura 6** apresenta o esquema de uma camada limite de temperaturas com escoamento laminar numa superfície plana cuja temperatura é mantida constante em T_s .

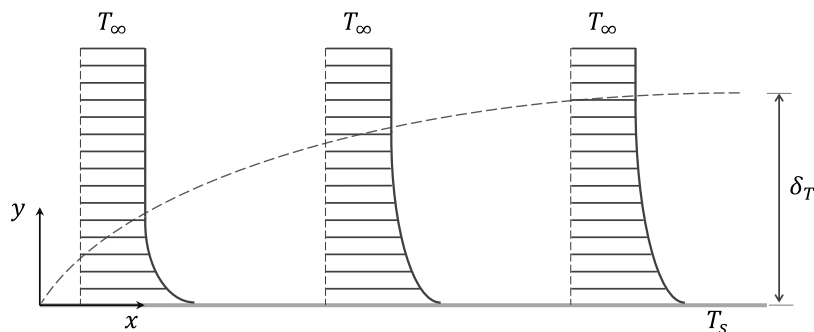


Figura 6: Escoamento com formação de camada limite térmica.

De maneira semelhante à camada limite de velocidades, a espessura é definida nos pontos onde $(T_s - T) / (T_s - T_\infty) = 0,99$ para escoamento laminar. Verifica-se que, se o número de Prandtl for

próximo da unidade, as espessuras das camadas térmica e de velocidades são praticamente iguais, o que só é válido, portanto, para escoamento da maioria dos gases. No caso mais geral, tem-se:

$$\frac{\delta_L}{\delta_T} = Pr^{1/3}$$

O fluxo de calor na interface sólido/fluido é dado pela Lei de Fourier ($q'' = -k \cdot (\partial T / \partial y)_{y=0} = h \cdot (T_s - T_\infty)$). É possível perceber que, onde a variação de temperatura é maior, o coeficiente de convecção também será maior, ou seja, o valor *local* de h é maior no começo da placa (assim como a tensão de cisalhamento local também segue a mesma tendência). Desta forma, de maneira análoga à definição de um coeficiente de atrito local e médio, também se define o número de Nusselt local ao longo da superfície, mas a definição do valor de h é relativamente complicada. No entanto, verifica-se que existem analogias no equacionamento da transferência de calor e de momento, que podem ser utilizadas para determinação do coeficiente de convecção.

1.4 Analogias

- Analogia de Reynolds: Considere um fluido escoando por um tubo ::

$$\frac{q''_{\text{fluido} \rightarrow \text{parede}}}{\text{Transporte de entalpia paralelo ao tubo}} = \frac{\tau_{\text{fluido} \rightarrow \text{parede}}}{\text{Transporte de } Q. \text{ de movimento paralelo ao tubo}}$$

$$\frac{h \cdot (T_s - T_\infty)}{\dot{m} \cdot c_p \cdot (T_s - T_\infty)} = \frac{0,5 \cdot f \rho v_\infty^2}{\dot{m} \cdot v_\infty} \Rightarrow \frac{f}{2} = \frac{h}{\rho c_p v_\infty}$$

$$\text{Rearranjando-se, tem-se: } \frac{f}{2} = \frac{\mu}{\rho v_\infty L} \cdot \frac{hL}{k} \cdot \frac{k}{\mu c_p} = \frac{Nu}{Re \cdot Pr} = St$$

Em que St é o número de Stanton. Esta analogia vale apenas para casos muito particulares, quando $Pr \approx 1$ (válido para a maioria dos gases). Uma forma mais comum da analogia de Reynolds é:

$$Nu = 0,5 \cdot f \cdot Re \cdot Pr$$

- Analogia de Colburn: é uma modificação da analogia de Reynolds, obtida semi-empiricamente e com intervalo de validade maior.

$$Nu = 0,5 \cdot f \cdot Re \cdot Pr^{1/3}$$

Para escoamento sobre uma superfície plana, tem-se:

$$Nu_x = \frac{h_x \cdot x}{k} = 0,332 \cdot Re_x^{1/2} \cdot Pr^{1/3}$$

(regime laminar)

$$Nu_x = \frac{h_x \cdot x}{k} = 0,0296 \cdot Re_x^{4/5} \cdot Pr^{1/3}$$

(regime turbulento)

Para encontrar uma correlação que resulte no valor médio de h (ou um valor médio de Nu), é preciso tomar uma média integral do valor de h ao longo do comprimento.

$$\bar{h} = \frac{1}{A} \int h_x \cdot dA$$

$$\frac{\bar{h}L}{k} = \frac{1}{A} \int \frac{h_x L}{k} \cdot dA \Rightarrow Nu_L = \frac{1}{L} \int \frac{h_x L x}{k x} \cdot dx \Rightarrow Nu_L = \int \frac{Nu_x}{x} dx$$

Para contemplar o escoamento laminar ($Re_x < 5 \cdot 10^5$), tem-se:

$$Nu_L = 0,332 \cdot Pr^{1/3} \int_0^L \frac{(Re_x)^{0,5}}{x} \cdot dx = 0,332 \cdot Pr^{1/3} \left(\frac{\rho v_\infty}{\mu} \right)^{0,5} \cdot \int_0^L x^{-0,5} \cdot dx$$

$$Nu_L = \frac{1}{L} \cdot 0,332 \cdot Pr^{1/3} \left(\frac{\rho v_\infty}{\mu} \right)^{0,5} \cdot \left(\frac{L^{0,5}}{0,5} - \frac{0}{0,5} \right)$$

$$\therefore Nu_L = \frac{\bar{h} \cdot x}{k} = 0,664 \cdot Re_L^{1/2} \cdot Pr^{1/3}$$

No caso do escoamento turbulento, devem-se contemplar os coeficientes de convecção das duas zonas:

$$\bar{h} = \frac{1}{A} \left(\int h_{x,L} \cdot dA + \int h_{x,T} \cdot dA \right)$$

$$Nu_L = Pr^{1/3} \left(0,332 \int_0^{x_{cr}} \frac{(Re_x)^{0,5}}{x} \cdot dx + 0,0296 \int_{x_{cr}}^L \frac{(Re_x)^{0,8}}{x} \cdot dx \right)$$

Considerando que $Re_{x_{cr}} = 5 \cdot 10^5$, de maneira semelhante ao cálculo do Nusselt médio do escoamento laminar, chega-se em:

$$Nu_L = Pr^{1/3} \left(0,664 \cdot (5 \cdot 10^5)^{0,5} + 0,037 \cdot (Re_L^{0,8} - (5 \cdot 10^5)^{0,8}) \right)$$

$$\therefore Nu_L = (0,037 \cdot Re_L^{4/5} - 871,32) \cdot Pr^{1/3}$$

A validade de ambas as correlações se dá em $0,6 < Pr < 50$ e com temperatura da superfície constante. Para o caso laminar, a correlação vale para $Re_x < 5 \cdot 10^5$; para o caso turbulento, vale para $Re_x > 10^8$.

Para resumir o discutido até o momento, a **Figura 7** mostra esquematicamente o comportamento do valor local do coeficiente de película numa placa plana, que pode ser estendido para outras geometrias: no início da formação da camada limite, gradiente de temperaturas é alta, o que causa um valor de h_x elevado; esse valor decai ao longo da camada limite laminar de velocidades, dado que o gradiente de temperaturas também vai diminuindo; na transição ocorre um salto do valor de h_x devido à turbulência, fazendo com que o valor desse coeficiente suba até valores altos. Ao longo do escoamento na camada limite turbulenta o comportamento de decaimento do valor de h_x continua se observando, pelos mesmos motivos que na camada limite laminar.

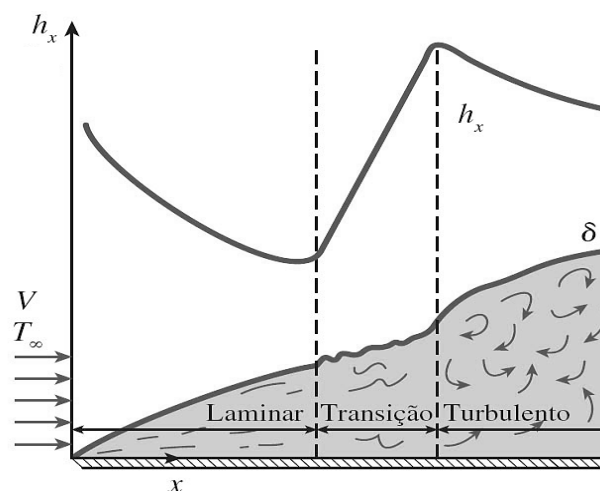


Figura 7: Comportamento do coeficiente de película na formação da camada limite numa placa plana. (Adaptado de ÇENGEL & GHAJAR, 4ª edição)

2. EXERCÍCIOS

- 1) Considere um escoamento de Couette com dissipação viscosa entre duas placas planas. A placa inferior tem velocidade $U = 5 \text{ m/s}$ e está isolada termicamente na parte de baixo. A placa superior é fixa, tem espessura $L_s = 3 \text{ mm}$, condutividade térmica $k_s = 1,5 \text{ W/m.K}$ e sua face superior (que não está em contato com o fluido) é mantida a 40 °C . A camada de óleo entre as placas tem espessura $L_o = 5 \text{ mm}$ e as propriedades do óleo são: $k_o = 0,1454 \text{ W/m.K}$ e $\mu_o = 0,799 \text{ Pa.s}$.
- a) Esboce o perfil de temperaturas no volume de controle que engloba as duas placas. Onde a temperatura é máxima? Justifique.
- b) Desenvolva uma expressão para o perfil de temperaturas na camada de óleo.
- c) Determine o valor da máxima temperatura na camada de óleo.

- 2) Tem-se as seguintes correlações para os coeficientes de convecção no caso do escoamento sobre uma placa plana para regimes laminar e turbulento:

$$h_{x,lam} = C_l \cdot x^{-0,5}$$

$$h_{x,turb} = C_t \cdot x^{-0,2}$$

Estas correlações se aplicam para escoamento de água sobre uma placa plana e os coeficientes C dependem apenas do tipo do regime de escoamento e da temperatura da água. Numa situação onde água escoar sobre uma placa plana de comprimento de 60 cm a 1 m/s . Sabendo que, para temperatura de 300 K , $C_l = 395$ e $C_t = 2330$ e que para temperatura de 350 K $C_l = 477$ e $C_t = 3600$, determine:

- a) A coordenada de transição entre regimes laminar e turbulento para as temperaturas dadas;
- b) Uma expressão para o coeficiente de película médio, englobando os regimes laminar e turbulento;
- c) O valor do coeficiente de película médio para cada temperatura;
- d) Esboce um perfil em escala de h_x ao longo da placa para as duas temperaturas dadas, identificando claramente a transição entre os regimes.
- 3) A correlação $Nu_x = 0,04 \cdot Re_x^{0,9} Pr^{1/3}$ pode ser utilizada para determinar o coeficiente de película numa placa plana cuja superfície não é lisa e se o regime de escoamento é laminar. Com a correlação dada, pede-se a razão entre o coeficiente de película local e o coeficiente de película médio ao longo da placa.
- 4) Para análise da importância da dissipação viscosa no caso da transferência de calor, dois números adimensionais são considerados: o número de Prandtl (Pr) do fluido e o número de Eckert (Ec) = $U^2/c_p \Delta T$. U é a velocidade característica e ΔT a diferença de temperatura característica. Se $Pr \cdot Ec \ll 1$, os efeitos de dissipação viscosa podem ser desconsiderados. Considere o escoamento Couette para o qual uma placa se move com velocidade 10 m/s e uma diferença de temperatura de 20 °C é mantida entre as placas. Considere para os fluidos uma temperatura média de 27 °C . Analise a importância da dissipação viscosa para os seguintes fluidos, nas condições dadas: ar, água e óleo de motor. Analise a importância da dissipação viscosa no caso do ar, com a placa em velocidade sônica.

RESPOSTAS

Questão	Respostas
1	a) A máxima temperatura se dá na superfície da placa isolada b) $T(y) = -\frac{\mu}{2k_o} \frac{v^2}{L^2} \cdot y^2 + T_s \cdot \frac{\mu \cdot v^2}{2k_o} \left(1 + 2 \frac{k_o}{L_o} \cdot \frac{L_s}{k_s}\right)$ c) 117 °C
2	a) 0,43 m (300K) e 0,19 m (350 K) b) $h_L = 1,667 \cdot (2C_l \cdot x_{cr}^{0,5} + C_t \cdot (-1,25 \cdot x_{cr}^{0,8} + 0,83))$ c) 1620 W/m ² .K (300 K) e 3710 W/m ² .K (350 K)
3	1,11
4	Pr.Ec = 0,003 (ar); 0,006 (água); 13,4 (óleo); 3,4 (sônica)

3. SÍMBOLOS

Símbolo	Nome	Modificador	Unidade(SI)
<i>A</i>	Área	s - superficial	m ²
<i>Bk</i>	Número de Brinkmann	-	Adim.
<i>C</i>	Coeficiente de integração	-	-
<i>c_p</i>	Calor específico à pressão constante	-	J/kg.K
<i>f</i>	Coeficiente de atrito	$\bar{\quad}$ - valor médio	Adim.
		L - laminar	
		T - turbulento	
<i>g</i>	Aceleração da gravidade	-	m/s ²
<i>H</i>	Entalpia	-	J
<i>h</i>	Coeficiente convectivo de troca térmica	$\bar{\quad}$ - valor médio	W/m ² .K
		L - laminar	
		T - turbulento	
		x - valor local	
<i>k</i>	Condutividade térmica	-	J/m.K
<i>L</i>	Comprimento	-	m
<i>m[˙]</i>	Vazão mássica	-	kg
<i>Nu</i>	Número de Nusselt	L - valor médio	Adim.
		x - valor local	
<i>P</i>	Pressão	-	Pa
<i>Pr</i>	Número de Prandtl	-	Adim.
<i>q''</i>	Fluxo de calor	conv - devido à convecção	W/m ²
<i>q_v</i>	Dissipação térmica	-	J/m ³
<i>R</i>	Raio	-	m
<i>R</i>	Constante dos gases	-	J/mol.K
<i>Re</i>	Número de Reynolds	cr - valor crítico	Adim.
		L - valor médio	
		x - valor local	
\vec{r}	Vetor posição	* - adimensional	m
<i>St</i>	Número de Stanton	-	Adim.
<i>T</i>	Temperatura	b - média	K
		∞ - do "bulk" do fluido	
		0 - de referência	

t	Tempo	* - adimensional	s
v	Velocidade	0 – de referência	m/s
		b - média	
		x – na direção x	
		y – na direção y	
		∞ – do “bulk” do fluido	
x, z, r	Posição	* - adimensional	m
		cr – valor crítico	
α	Difusividade térmica	-	m ² /s
δ	Espessura da camada limite	L – de velocidades (laminar)	m
		T – de temperaturas	
Δ	Variação	-	-
θ	Diferença de temperatura adimensionalizada	* - adimensional	K
μ	Viscosidade dinâmica	-	Pa.s
ν	Difusividade de quant. de mov. (viscosidade cinemática)	-	m ² /s
ρ	Densidade volumétrica	-	kg/m ³
τ	Tensão de cisalhamento	-	Pa
ω	Velocidade de rotação	-	rad/s

4. BIBLIOGRAFIA

INCROPERA, F.P et al. Fundamentos de Transferência de Calor e Massa – 6ª Edição – 2008 – LTC – Rio de Janeiro, Brasil.

DOUGLAS, J. M. - *Conceptual Design of Chemical Process* –International edition - McGraw-Hill, 1988

PRAUSNITZ, J. M., REID, R. C., POLING, B. E. – *The Properties of Liquids and Gases* – 4ª edição – McGraw-Hill, 1987.

ÇENGEL, Y.A., GHAJAR, A. F. – Transferência de calor e massa – 4ª edição - McGraw-Hill.